

衝突水噴流 冷却法의 體系化(IV)

Systematization of Cooling Method Impinging Water Jet(IV)

崔 國 光*, 徐 正 閏**
Gug Gwang Choi, Jeong Yun Seo

이번 號서부터는 주로 衝突水噴流系의 流動特性 및 热傳達特性에 대하여 代表的인 實驗結果를 文獻들을 引用하여 紹介하기로 한다. 우선 이 號에서는 그 流動特性에 대하여 說明한다.

9. 衝突水噴流系의 流動特性

9-1 衝突水噴流에 의한 液膜流의 流動形態

平板에 水噴流를 上向으로 衝突시킬때 衝突面上에서의 液膜流의 流動形態는 그림 11(노즐-平板間距離 $H = 1 \text{ mm}$)과 같이 그 領域을 分類할 수 있다.⁽⁴²⁾ 노즐에 가까운 S領域은 液面이 平滑한 液膜流로서 層流로 볼 수 있으며 流量이 작은 경우에는 領域S 밖의 半徑方向에는 노즐軸을 中心으로 하는 同心円狀의 波(波長 $3 \sim 5 \text{ mm}$)가 나타나고(roll 波의 R領域) 流量이 커지면 波頭가 崩壊되어 ripple 波로 된다. 流量이 더 增大하면 roll 波는 $2 \sim 3$ 개의 波가 合體하여 波長 $8 \sim 10 \text{ mm}$ 의 同心円狀의 波로 되며 이 波는 물과 空氣의 密度差때문에 생기는 不安定波인 Rayleigh-Taylor 波(RT 波)로 생각되는데(領域RT) 이것은 平板下面을 흐르는 液膜에서 나타나는 特有의 流動現象이다. 그 下流에서는 液膜은 液滴이 되어 落下하게 된다(領域F). 流量이 아주 작은 경우에

는 液滴의 落下의 衝擊으로 形成되는 波는 上流쪽으로 移動하게 된다(領域RF). 그럼 12는 流量 $0.18 \ell/\text{s}$ 일때의 흐름의 樣相이다. 流量이 比較的 커지면 領域S의 下流에 노즐軸을 中心으로 等間隔의 円을 그려놓은 듯 한 가는 驚亂波가 나타나는데 이것을 D波로 부르기로 한다(D領域). 이 D波는 下流로 감에 따라 涡動의 成長에 의해 增幅하지만 流量이 그다지 크지 않으면 D波는 마침내 減衰하여 消滅하고 흐름은 領域R이 된다. 流量이 더욱 增大하면 領域D의 下流에서 增幅된 D波를 斷切하도록 하여 麥形의 格子모양을 한 波, 즉 LS波(lattice shaped wave, 領域TR)가 나타나며 그 下流에 $10 \sim 100 \text{ mesh}$ 의 Sand paper狀의 波長이 极히 작은 粒狀의 波, 즉 SL波(Sand paper-like wave, 領域T)가 나타난다. LS波의 存在領域(TR領域)은 放射狀 液膜流의 遷移域(그림 13)이 되며 SL波의 存在領域(T領域)은 亂流域(그림 14)이다.

下向水噴流의 衝突面上에 液膜流가 흐르는

* 正會員, 仁川大學 機械工學科

** 正會員, 仁荷工大 機械工學科

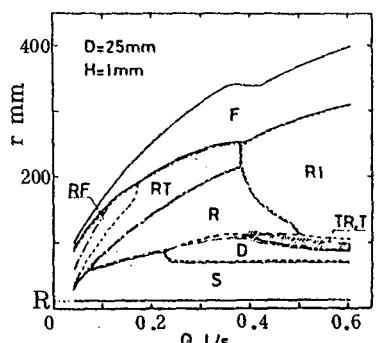


그림 11 上向水噴流의 衝突面上 液膜流의 流動
樣式

S : Smooth face RT: Rayleigh-Taylor wave
D : Disturbance wave RI : Ripple wave
TR: Transition F : Falling
T : Turbulent RF: Reflection wave
R : Roll wave of falling

그림 11 上向水噴流의 衝突面上 液膜流의 流動
樣式

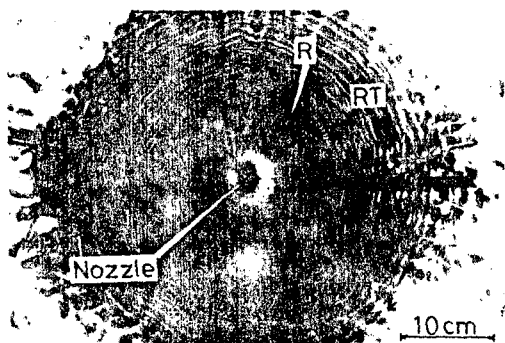


그림 12 R, RT 波 ($D = 25 \text{ mm}$, $H = 1 \text{ mm}$, $R_e = 4.5 \times 10^4$)

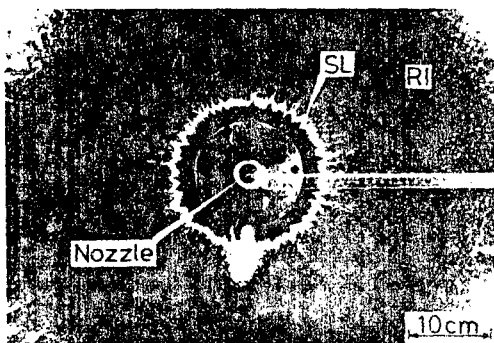
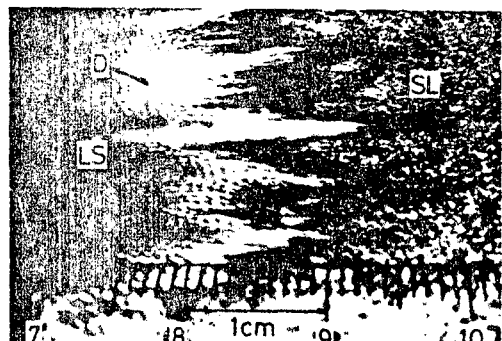


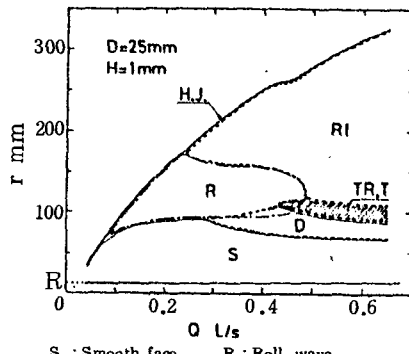
그림 13 亂流遷移

그우는 上向水噴流의 衝突面上의 液膜流에 대
한 RT 波 대신 円形 跳水(그림 15에 H.J.로 表
示)가 나타나며 roll 波의 波長은 5~7mm가 되



$D=25\text{mm}, H=1\text{mm}, R_e = 1.4 \times 10^5$

그림 14 遷移過程



S : Smooth face R : Roll wave
D : Disturbance wave RI : Ripple wave
TR: Transition H.J. : Hydraulic
T : Turbulent jump

그림 15 下向水噴流의 衝突面上 液膜流의 流動
樣式

는데 同心円狀으로 나타나지 않고 弧의 길이
가 20 mm程度의 弓形을 이루어 비늘과 같은 形
狀이 된다.

液膜流가 層流에서 亂流로 遷移하는 半徑位
置 r_t 은 노즐徑 D 와 노즐一板距離 H 가 커지면
増大하고, 流出 R_e 數의 增加에 따라 減少한다.
 r_t 의 無次元量인 無次元遷移半徑 $r_t^*(r_t/\sqrt{CDH})$
 $R_e^{-\frac{1}{3}}$ 과 R_e 數의 關係는 그림 16에 表示된 바
와 같다. 여기서 노즐徑 D 및 H 의 크기에 관
계없이 r_t^* 는 流出 R_e 數의 增加에 따라 거의
 $R_e^{-\frac{2}{3}}$ 에 比例하여 減少한다. 그리고 流出係
數 $C = Q/\pi DHU_o$, 流出速度 $U_o = Q/\pi a^2$, a 는 噴
流半徑이다.

9-2 液膜두께

Watson⁽⁴³⁾은 운동량 적분방정식을 직접 적분하여 경계층 내의 유사속도 분포를 구하고 반경 r 과 더불어 변화하는液膜두께를 계산하였다. 그 결과들에 대해서는 層流流动의 경우는 그림 17, 亂流流动의 경우는 그림 18에 표시하였다(여기서 a : 噴流半径, R : 噴流 Re 수 = $Q/\nu a$, h : 液膜두께, δ : 경계층두께, U_0 : 噴流速度). 이 선형에는 液膜表面速度 및 경계층두께의 반경방향변화도 아울러 표시되어 있다. 解析的結果와 實驗的結果(上面의 흐름)을 비교하면 그림 19⁽¹⁶⁾와 같다. 이 선형에 의하면 반경방향으로 갈수록 液膜두께는 처음에는 감소하지만 어느 위치에서 최소두께가 된 후 다시 점차 증가하고 더욱 그 거리가 멀어지면 跳水現象이 발생하여 두께는 급격히 증가한다. 또 實驗結果는 Watson의 解析에 의한 液膜두께보다 두꺼우며 그림 17, 18의 實線은 경계층내의 속도分布를 4次近似式 $f = 2\eta - 2\eta^3 + \eta^4$ 으로 假定하여 液膜두께의 近似式을 구한結果, 다음과 같이 表示된다. ($f = U/U_i$, $\eta = Z/\delta_b$, Z : 噴流軸上座標, δ_b : 경계층두께)

$$r^* \leq r_a^* \text{에서 } \delta^* = 1.01 r^{* \frac{1}{2}} + 0.5/r^* \quad (4-1)$$

$$r^* > r_a^* \text{에서 } \delta^* = 1.41 r^{*2} + 0.315/r^* \quad (4-2)$$

여기서 $r_a^* = R_{eri}^{-\frac{1}{3}}(r_a/r_i)$, r_a : 경계층두께가 液膜두께와 同一할 때의 반경, r_i : 충돌時 噴流半径, $R_{eri} = U_i r_i / \nu$, r^* : 無次元半径 = $R_{eri}^{-\frac{1}{3}}(r/r_i)$, δ^* : 無次元 液膜두께 = $(\delta/\delta_b)R_{eri}^{-\frac{1}{3}}$ 이다.

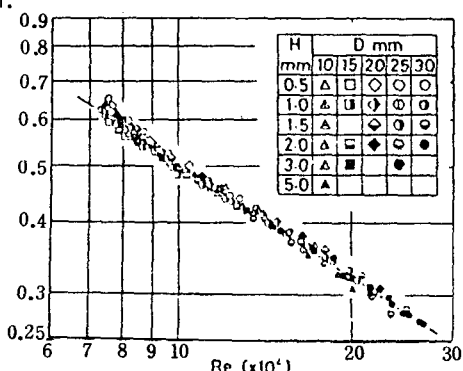


그림 16 無次元遷移半徑

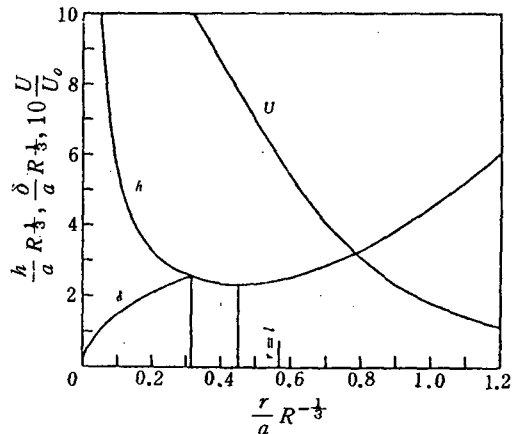


그림 17 液膜두께 및 表面速度의 반경방향변화 (層流)

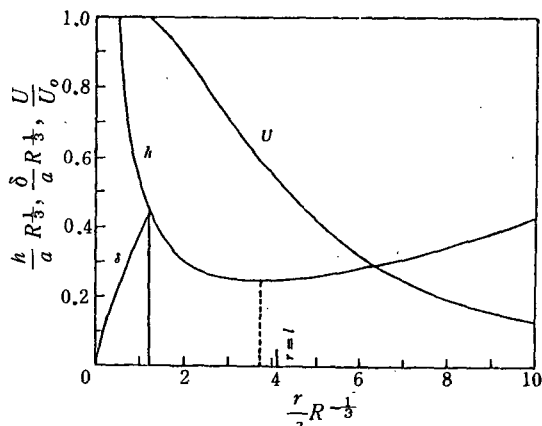


그림 18 液膜두께 및 表面速度의 반경방향변화 (亂流)

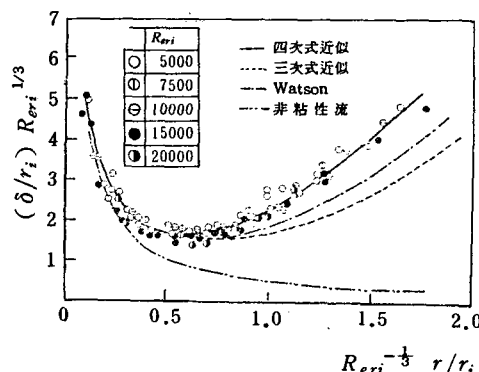


그림 19 液膜두께(上面)

한편 上向水噴流가 平板下面에 衝突하여 흐를때 液膜두께는 그림 20⁽⁴⁴⁾와 같이 나타난다. 이 경우에도 Wastson의 解보다 膜두께는 더 크며 Azuma⁽⁴⁴⁾ 等은 連續의 式, 運動方程式, 境界條件을 利用하고 境界層內의 速度分布를 역시 4次式으로 近似시켜 解를 구한 結果, 實線과 같이 表示되는데 이것은 實驗結果와 잘一致한다. 그 式은 다음과 같다.

$$r^* \leq r_a^* \text{에서 } \delta^* = 1.79 r^{* \frac{1}{2}} + 0.5/r^* \quad \dots (4-3)$$

$$r^* > r_a^* \text{에서 } \delta^* = 5.03 r^{* 2} + 0.642/r^* \quad \dots (4-4)$$

亂流遷移後의 液膜두께는 後述하는 式(4-13)으로 表示하였다.

跳水發生位置는 跳水發生半徑으로 表示할때 流量과의 關係는 그림 21⁽¹⁶⁾과 같다. 跳水發生半徑은 노즐直徑에 거의 影響을 받지 않으며 流量이 增加함에 따라 그 位置는 下流側으로 移動한다.

9-3 壁面靜壓 및 半徑方向速度

下向水噴流が 平板에 衝突시킬때 衝突領域內의 壁面靜壓分布를 그림 22⁽¹⁵⁾에 나타냈다. 縱軸에는 任意點의 壓力を stagnation point의 壓力(P_s)으로 無次元화한 項을 取하고 橫軸에는 半徑方向距離를 노즐直徑으로 無次元化한 項으로 表示하였다. 이 結果는 噴流速度의 寬은範圍에 걸쳐 다음式으로 나타낼 수 있다.

$$\left. \begin{aligned} \frac{P - P_\infty}{P_s - P_\infty} &= 1 - \left(\frac{r}{D}\right)^2, \quad 0 \leq \frac{r}{D} < 1 \\ \frac{P - P_\infty}{P_s - P_\infty} &= 0, \quad 1 \leq \frac{r}{D} \leq 5 \end{aligned} \right\} \dots \dots (4-5)$$

여기서 P_∞ 는 境界層 밖의 無限遠方의 壓力이다. 이 結果를 利用하면, 이 壓力이 液膜內의 境界層 밖에서의 壓力과 같다고 할때 Bernoulli 式 $\frac{1}{2} \rho U_i^2 + P = P_s = \frac{1}{2} \rho U_i^2 + P_\infty$ 에 式(4-5)를 代入하면 液膜內의 境界層 밖의 速度 U_∞ 의 半徑方向變化는 다음과 같이 된다.

$$\frac{U_\infty}{U_i} = \frac{r}{D}, \quad 0 \leq \frac{r}{D} < 1 \quad \dots \dots \dots (4-6)$$

$$\frac{U_\infty}{U_i} = 1, \quad 1 \leq \frac{r}{D} \leq 5$$

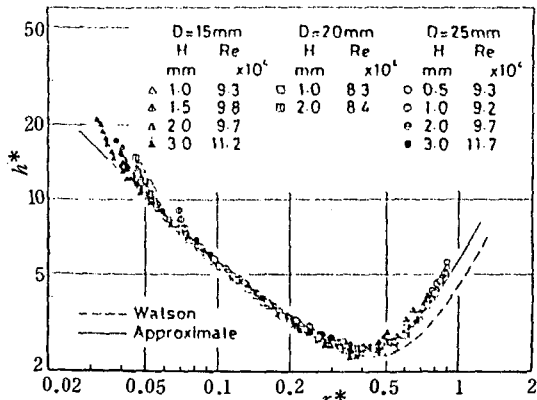


그림 20 無次元液膜두께(下面上)

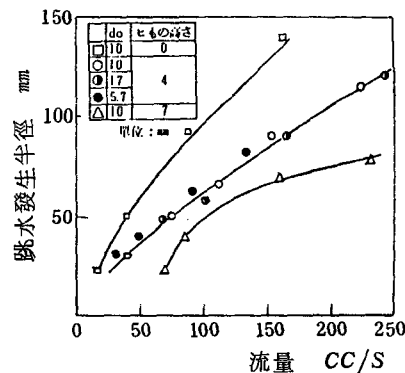


그림 21 跳水發生半徑

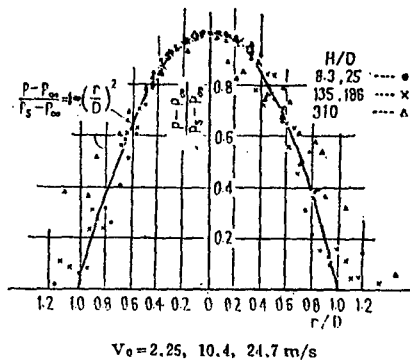


그림 22 壁面靜壓分布

여기서 衝突速度 U_i 는 다음式으로 定義된다.

$$P_s - P_\infty = \frac{1}{2} \rho U_i^2 \quad \dots \dots \dots (4-7)$$

式(4-6)의 關係는 그림 23⁽¹⁵⁾ 과 近似的으로 成立함을 알 수 있다.

上向 衝突水噴流에 대한 衝突領域內의 靜壓分布에 대해서는 嚴·徐⁽³⁴⁾ 다음과 같이 實驗結果를 整理하고 있으며 그림 24 와 같다.

$$\frac{P - P_\infty}{P_s - P_\infty} = 1 - \tan h^2 (1.223 \frac{r}{r_o}) \quad \dots \dots \dots (4-8)$$

여기서 r_o 는 靜壓이 零이 되는 半徑方向距離이다.

2次元 下向水噴流에서의 壁面壓力 및 流速의 幅(x) 方向 變化는 Nakanish⁽⁴⁵⁾ 等에 의해 그림 25 및 그림 26 와 같이 整理되었다.

9-4 液膜內의 速度 및 境界層두께

水噴流가 平板에 衝突하여 形成되는 放射狀液膜流는 層流境界層의 發達域(I), 液膜이 層流境界層으로서 흐르는 發達液膜域(II), 亂流遷移가 發生할때는 亂流域(III)을 거쳐 平板의 上面을 흐르는 경우에는 跳水를 일으키고 下面을 흐르는 경우에는 液滴이 되어 落下한다 그 흐름의 모델을 그림 27 과 같이 表示할때 Azuma⁽⁴⁶⁾ 等은 液膜內의 境界層두께 및 速度分布를 각 領域別로 다음과 같이 提示하였다.

$$\text{領域(I)} (r \leq r_o) : \delta_b^* = 5.97 \sqrt{r^*} \quad \dots \dots \dots (4-9)$$

$$U/U_o = 1 \quad \dots \dots \dots (4-10)$$

$$\text{領域(II)} (r > r_o) : \delta_b^* = 0.642/r^* + 5.03r^{*2} \quad \dots \dots \dots (4-11)$$

$$U/U_o = 0.714/(r^* \delta^*) \quad \dots \dots \dots (4-12)$$

$$\text{領域(III)} (r > r_t) : \delta^* = \delta_t^* r_t^*/r^* - 0.0197 R_e^{-\frac{1}{2}} \\ (r_t^{*9/4}/r^* - r^{*5/4}) \dots \dots \dots (4-13)$$

$$U/U_o = 0.571/(r^* \delta^*) \quad \dots \dots \dots (4-14)$$

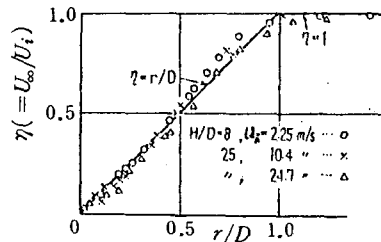


그림 23 境界層外緣速度의 半徑方向變化

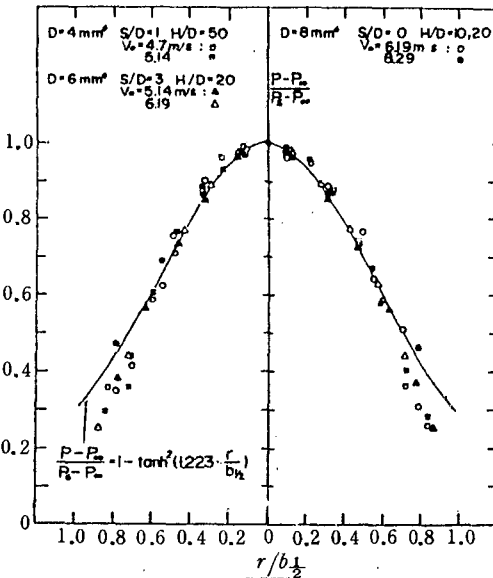


그림 24 衝突領域에서의 靜壓分布

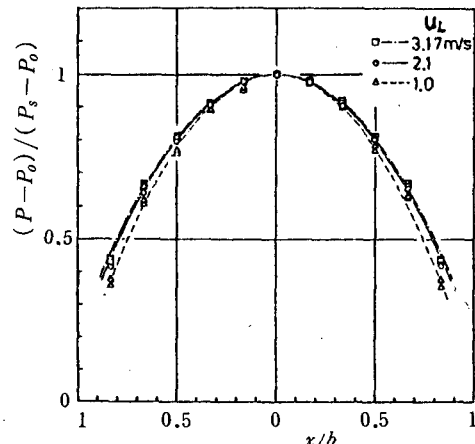


그림 25 壁面靜壓分布(二次元水噴流)

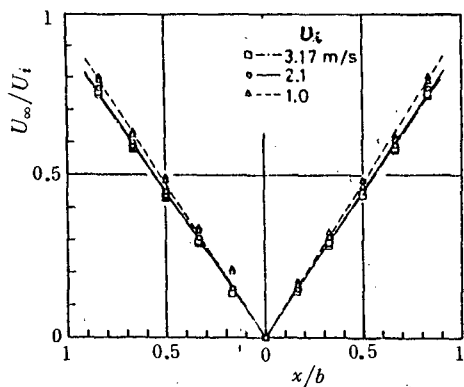


그림 26 流速의 幅方向變化

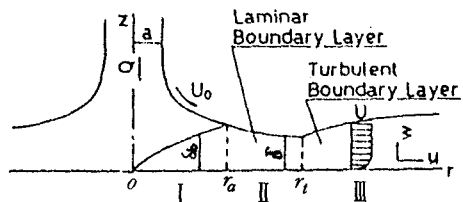


그림 27 流動モデル

여기서 $\delta_b^* = \text{無次元境界層두께} = \delta_b R_e^{1/3} / \sqrt{CDH}$,
 $R_e = Q / (\sqrt{CDH} \nu)$, $r^* = \text{無次元半徑} = r R_e^{-1/3} / \sqrt{CDH}$,
 $\delta^* = \text{無次元液膜두께} = \delta_r R_e^{1/3} / \sqrt{CDH}$
 이며 r_t 는 亂流遷移半徑이며 $r_t^* = 870 R_e^{-0.648}$ ⁽⁴⁴⁾이다.

液膜内部의 速度分布가 下流로 향함에 따라
 變化하는 모양을 亂流遷移가 發生하지 않는
 경우($D=25\text{mm}$, $U_0=3.7\text{m/s}$, $H=2\text{mm}$, $R_e=3.9 \times 10^4$)에 대해서 表示하면 그림 28⁽⁴⁶⁾ 과
 같다. 이 線圖에 의하면 層流境界層이 發達하고(領域I)
 領域II) 마침내 境界層이 液面에 到達하면
 그 後 液膜은 境界層으로서 흐르는 領域III)가

됨을 알 수 있다. 亂流遷移가 發生하는 경우($U_0=9.7\text{m/s}$, $R_e=1.7 \times 10^5$)는 그림 29⁽⁴⁶⁾와 같다. 이 線圖에서 $r=91\text{mm}$ 까지의 흐름은 層流이지만 $r=100\text{mm}$ 로 되면 흐름에 간헐적으로 亂流로 遷移하는 것을 알 수 있다.

이 線圖에서 實線 및 破線은 層流에 대한 計算結果이다. Watson⁽⁴³⁾은 領域III에 있어서 運動方程式을 直接 積分하여 境界層內의 相似 速度分布를 다음과 같이 誘導하였다.

$$f(\eta) = \sqrt{3} + 1 - \frac{2\sqrt{3}}{1 + Cn \{ 3^{1/4} K(1-\eta) \}} \quad (4-15)$$

層流일때의 速度分布는 Watson 形이 되지만 亂流로 遷移하면 層流일때에 비해 速度가 減少함을 볼 수 있다. $r=125\text{mm}$ 에서의 實測結果는 흐름이 完全히 亂流域인 것을 表示한다.

9-5 水中水噴流에서의 流動速度 및 濃度 分布

一定水位의 물이 차있는 水槽의 下面에 設置된 노즐로부터 上向으로 水噴流를 噴出시킬때

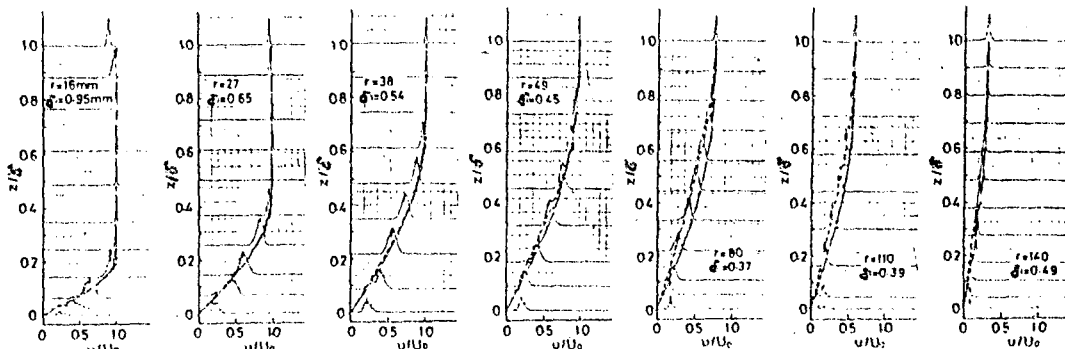


그림 28 液膜内 速度分布의 半徑方向變化(層流)

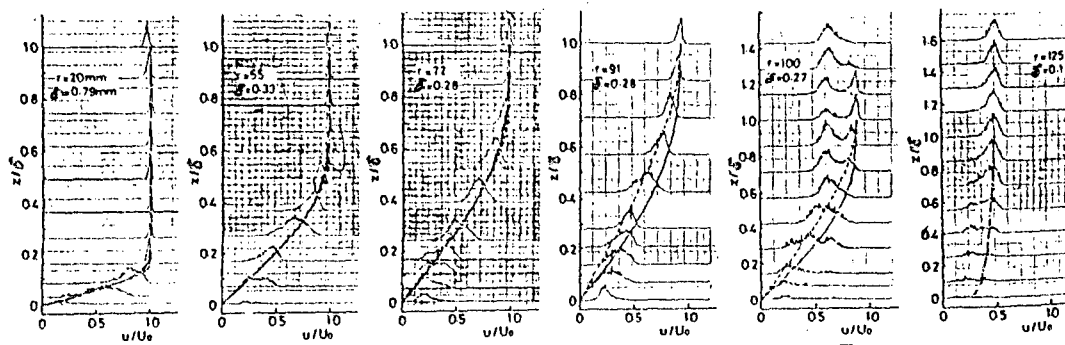


그림 29 液膜内 速度分布의 半徑方向變化(亂流 遷移)

軸方向 速度成分의 半徑方向變化와 濃度分布를 Walton Forstall⁽⁴⁷⁾ 等은 다음式으로 提示하였다.

$$U/U_c = \exp[-0.694(r/r_{mu})^2] \dots\dots (4-16)$$

$$\xi/\xi_c = \exp[-0.694(r/r_{m\xi})^2] \dots\dots (4-17)$$

여기서 r_{mu} : $U = U_c/2$ 에서의 r 의 値, $r_{m\xi}$: $\xi = \xi_c/2$ 에서의 r 의 値, ξ : tracer 物質의

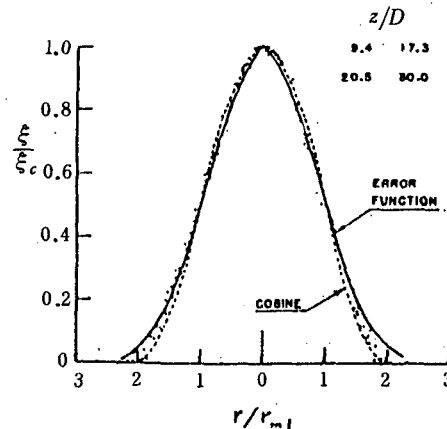


그림 30 速度分布(軸方向)

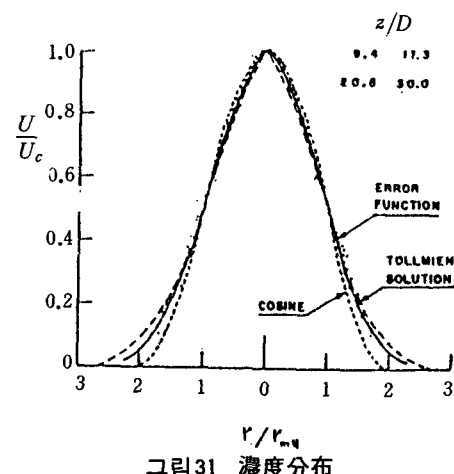


그림 31 濃度分布

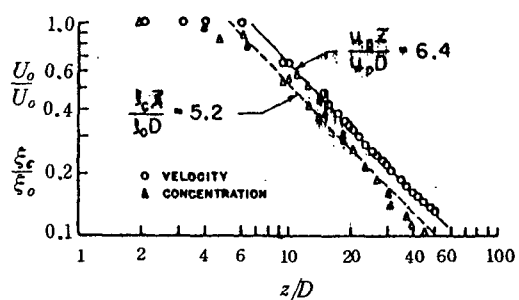


그림 32 速度 및 濃度의 軸方向變化

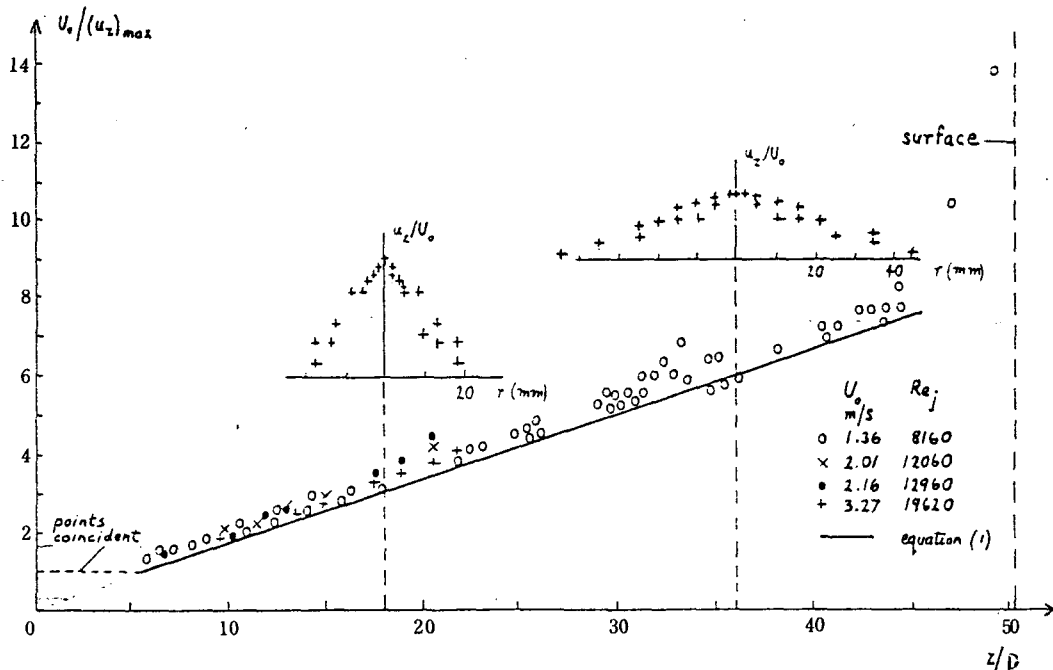
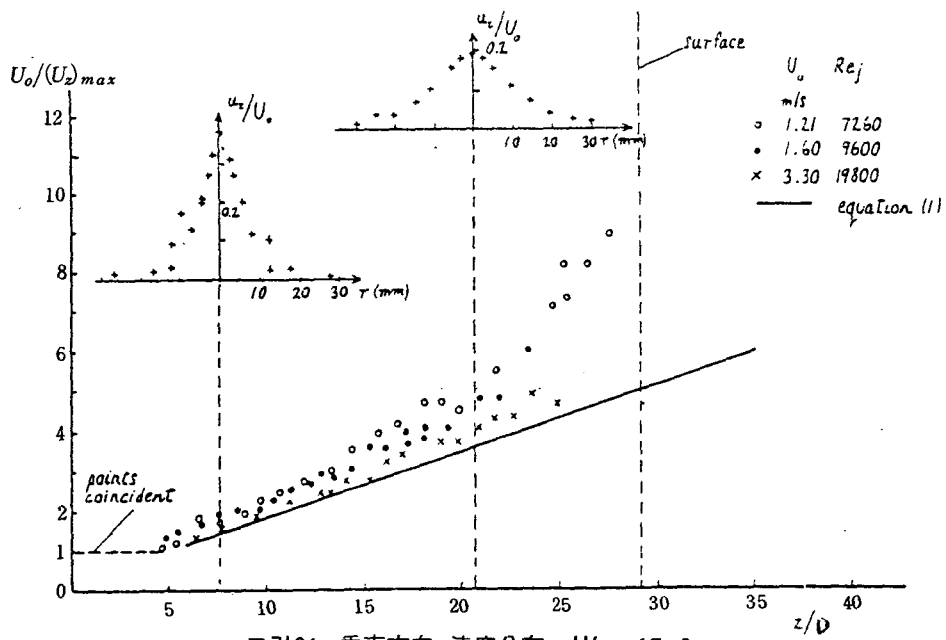


그림 33 垂直方向 速度分布, H' = 30.5 cm

그림 34 垂直方向速度分布, $H' = 17.5 \text{ cm}$

濃度, 添字 C 는 $r=0$ 에서의 값이다. 이것을 線圖에 表示하면 그림 30 및 그림 31과 같다. 中心線上의 速度 및 濃度分布는 그림 32⁽⁴⁷⁾과 같이 Z/D 가 約 6 까지는 노출出口 速度 및 濃度가 그대로 維持되어 一定한 값이 되며 Z/D 가 그 以上이 되면 $U_c/U_0 = C_u D/Z$, $\xi/C_u = C_\xi D/Z$ 이며 $C_u=6.4$, $C_\xi=5.2$ 의 結果를 얻고 있다.

GARRAD⁽⁴⁸⁾ 等도 自由表面으로부터 물깊이 30.5, 25.5, 17.5 cm인 下面에서 上向으로 水噴流를 噴出시킬 때 그림 33 및 그림 34와 같은 速度分布의 實驗結果를 얻고 있다. 그림 중의 實線은 Hinz의 自由噴流에相當하는 速度減少의 理論式으로서 $(U_z)_{max}/U_0 = A \cdot D/(Z+b)$ 를 示하였다는데 GARRAD는 $A=5.9$, $b=-0.5D$ 를 얻고 있다. 여기서 U_z 는 軸方向 速度成分이다. 이들 線圖에서 알 수 있는 바와 같이 stagnation line의 速度는 potential core 領域을 除外하고 自由表面에 가까울수록 減少하되 自由表面으로부터 任意의 깊이에서 軸一向(上向) 速度分布를 半徑方向距離에 따라 定하면 그 結果는 自由表面에 가까울수록 즉 $/D$ 가 클수록 平坦한 速度分布로 나타난다.

그러나 stagnation line에서의 軸方向 速度의 絶對值는 Z/D 가 작을수록 크다. 또한 自由表面에서의 半徑方向 速度의 分布를 그림 35⁽⁴⁸⁾에 나타냈다. 여기서 噴流軸上에서와 側面壁에서 速度는 零이며 自由表面上에서의 半徑方向 速度는 二點사이에서 最大值를 갖는다.

9-6 두개의 液噴流를 對向衝突하는 경우

두개의 液噴流를 對向으로 衝突할 때 SAAD⁽⁴⁹⁾ 等은 有限差分法을 利用한 解析에서 stream function의 値을 計算하고 衝突面을 따라 壓

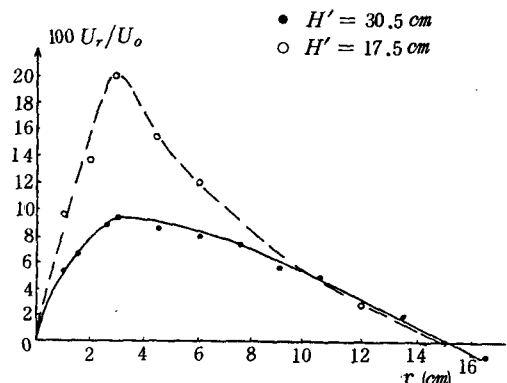


그림 35 自由表面에서의 半徑方向 速度分布

力 및速度分布를 구한結果를 그림 36과 같이 나타냈다. 이線圖에서 V_r 는噴流速度, equal jet는 노즐경이 같은 경우 unequal jet는 노즐경이 다른 경우를意味한다.

9-7 衝突水噴流에 의한 核沸騰 및 burn-out에서의 流動狀況

Monde⁽²⁰⁾ 等은 水噴流(流量 G_o , 噴流速度 U_e)가 高溫加熱面에 衝突하는 경우의 流動狀況의 모델을 提示하였으며 그림 37과 같다. 그림 37(a)에서 加熱面上에는 核沸騰液層(Nucleate boiling liquid layer)이 存在하고 이것이 核沸騰을 支配한다. 그리고 이 核沸騰液層위를 흐

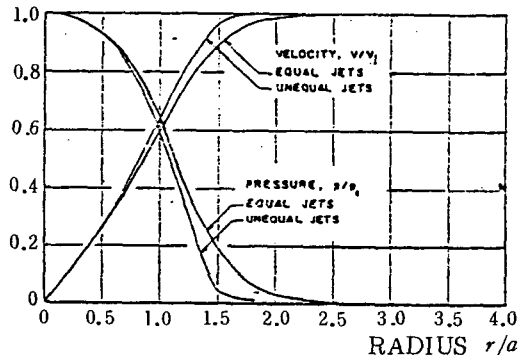


그림 36 衝突界面에서의 速度 및 壓力分布
(對向円形噴流)

르는 上層自由液流(upper liquid flow)가 있으며 이液流는 下方側의 核沸騰液層으로부터噴出하는 蒸氣液流를吸收하는作用을 받아無數한 液滴으로 되는 飛散液滴流(flow of splashed droplets)가發生한다. 噴流流量 G_o 로부터飛散液滴流 G 를 뺀($G_o - G$)는 核沸騰液層 및 上層自由部分을 흘러 加熱面周邊으로 overflow하여 流出한다. 이것이 part A에 該當한다.

熱流束을 더욱增加시키면 飛散은 더激烈해지고 上層自由液流는 衝突領域近處에서 飛散하여 그飛散形態는 円錐形을 이룬다. 그리고 核沸騰液層의 下流部分은 蒸氣로 이루어지는周圍의 大氣에 露出되어 그狀態는 part B(그림 37(b))로表示된다. 그림 37(b)의 경우傳熱面의 下流側에서 나머지 液體流量 $G_o - (G+G')$ 는 없어지지 않고 傳熱面에서 核沸騰液層으로維持된다. G' 는 液體의 蒸發量이다.

(다음號에 계속)

参考文獻

42. Tsuneo AZUMA, Tatsuroh HOSHINO,
The radial flow of thin liquid film (1st Report, Laminar-Turbulent Transition),

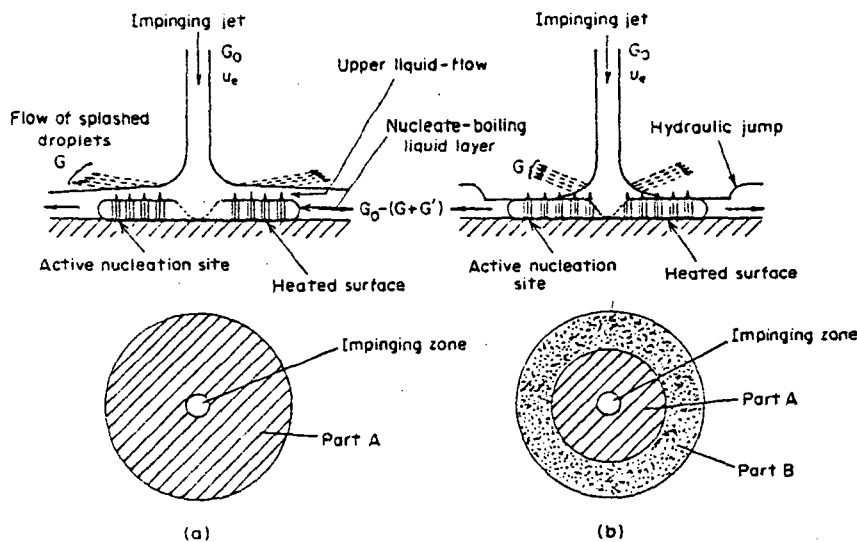


그림 37 核沸騰時 流動모형(上向加熱面)

- Buletin of JSME, Vol. 27, No. 234, pp. 2739-2746, 1984.
43. E.J. WATSON, The radial spread of a liquid jet over a horizontal plane, J. Fluid Mech. Vol. 20, Part 3, pp. 481-499, 1964.
44. Tsuneo AZUMA, Tatsuroh HOSHINO, The radial flow of thin liquid film (2nd Report, Liquid Film Thickness), Buletin of JSME, Vol. 27, No. 234, pp. 2747-2754, 1984.
45. 中西外 3名, 二次元衝突水噴流の膜沸騰熱傳達, 日本機械學會論文集(B編), 46卷, 405號, pp. 955-961, 1980.
46. Tsuneo AZUMA, Tatsuroh HOSHINO, The radial flow of a thin liquid film (3rd Report, Velocity Profile), Buletin of JSME, Vol. 27, No. 234, pp. 2755-2762, 1984.
47. Walton Forstall, E.W. Gaylord, Pittsburgh, PA., Momentum and Mass Transfer in a Submerged Water Jet, Journal of Applied Mech. pp. 161-164, 1955.
48. A.D. Garrad, The Velocity Field Produced by a Submerged Jet directed Upwards at a Free Surface, Int. J. Heat Mass Transfer, Vol. 26, No. 7, pp. 1029-1036, 1983.
49. Michel A. Saad, Gene J. Antanides, Flow Pattern of Two Impinging Circular Jets, AIAA Journal, Vol. 10, No. 7, pp. 929-931. 1972.